

热电相移器仿真

2019.03.13 畅星兆

衡量热电调制器的几个参数

Table 1. Summary of recent thermo-optic waveguide phase shifter parameters where L is the total heater length, V_π and P_π are the applied voltage and power necessary to reach π radians of phase shift, respectively, and τ is the limiting rise or fall time constant. In results where τ is not reported, the single-pole approximation $\tau = \frac{0.35}{f_3dB}$ is used to convert between metrics.

	Material	Cladding	L (μm)	Loss (dB)	V_π (V)	P_π (mW)	τ (μs)	$P_\pi \cdot \tau$ (mW $\cdot\mu\text{s}$)
Here	SOI	SiO ₂	61.6	0.23 dB	4.36	24.77	2.69	66.9
[10]	Si	Air	>9.42	0.5 dB	11.93	12.7	2.4	30.5
[12]	TiN in SOI	Air	1000	0.3 dB	0.86	0.49	144	70.5
[11]	NiSi in SOI	Air	200	5 dB	1	20	2.8	56
[17]	Cr-Au in SOI	SiO ₂	700	32 dB	1.66	46	3.5	160
[14]	Ti in SOI	Air	100	8 dB	13.3	10.6	34.9	370
[16]	Metal in SOI	SiO ₂	2500	< 12 dB	-	235	60	14100

需要关注的参数: material, length, loss, V_π , P_π , τ , $P_\pi \cdot \tau$

对流换热系数

- 单位温差时的单位面积上的热通量, 单位: $W/(m^2 \cdot K)$

影响因素:

1. 对流运动成因和流动状态
2. 流体的物理性质(随种类、温度和压力而变化)
3. 传热表面的形状, 尺寸和相对位置
4. 流体有无相变(如气态与液态之间的转化)

对流换热系数的大致量级:

空气自然对流: 5 – 25

水的强制对流 1000 ~ 15000

有机蒸汽的冷凝 500 ~ 2000

气体强制对流 20 ~ 300

油类的强制对流 50 ~ 1500

水的沸腾 2500 ~ 25000

水的自然对流 200 ~ 1000

水蒸气的冷凝 5000 ~ 15000

3类边界条件

1. 第一类边界条件 规定了边界上的温度值

$$\text{当 } \tau > 0 \text{ 时, } t_w = f_1(\tau)$$

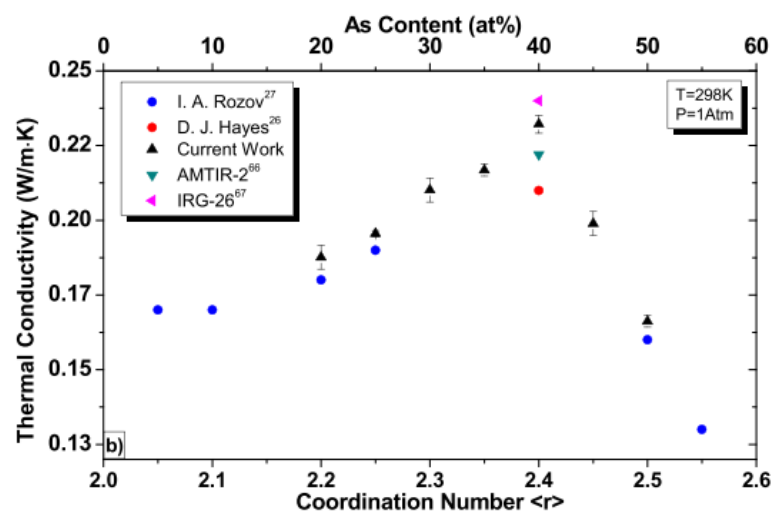
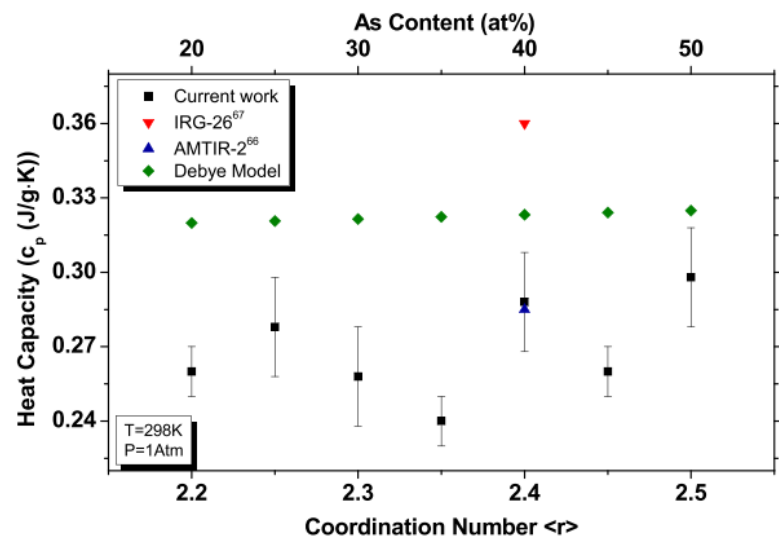
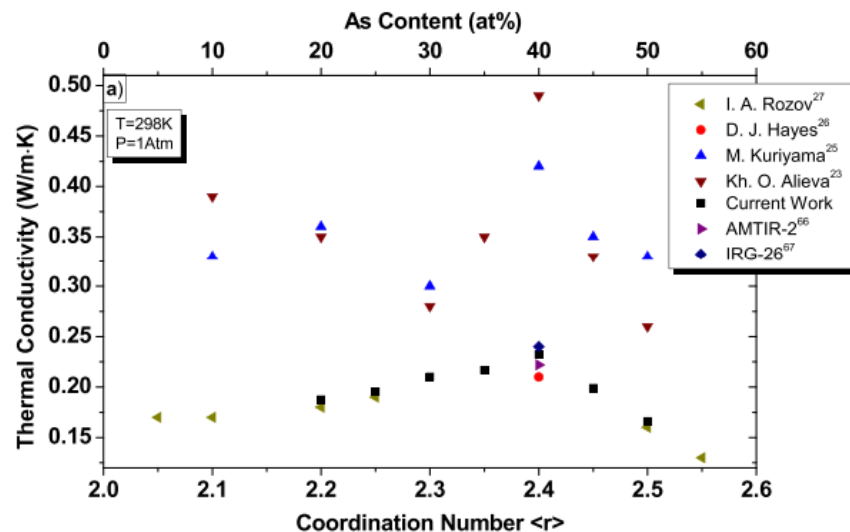
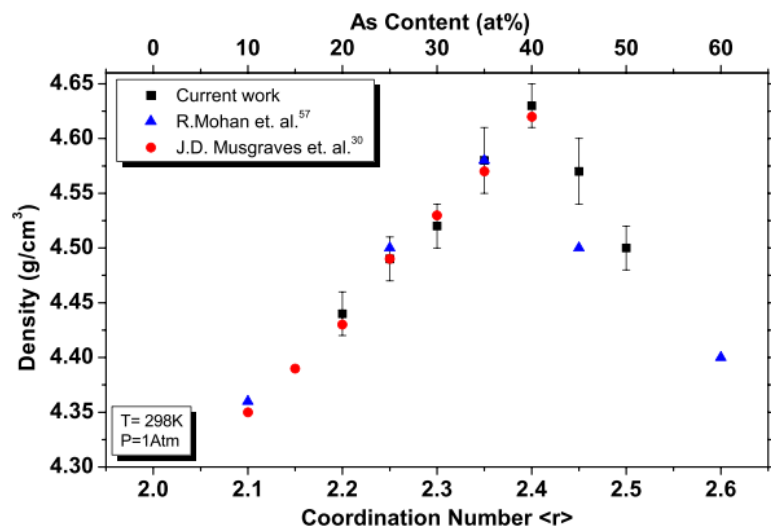
2. 第二类边界条件 规定了边界上的热流密度值

$$\text{当 } \tau > 0 \text{ 时, } -\lambda \left(\frac{\partial t}{\partial x} \right)_w = f_2(\tau)$$

3. 第三类边界条件 规定了边界条件上表面传热系数以及外界温度

$$\text{当 } \tau > 0 \text{ 时, } -\lambda \left(\frac{\partial t}{\partial x} \right)_w = h(t_w - t_f)$$

硫系玻璃(chalcogenide glasses)的热学属性



硫系玻璃总结:

密度(density):

$$\sim 4500 \text{ kg/m}^3$$

比热容(heat capacity):

$$\sim 300 \text{ J/kg} \cdot \text{K}$$

导热系数(thermal conductivity):

$$\sim 0.3 \text{ W/m} \cdot \text{K}$$

气凝胶(silica aerogel)的热学属性

丸子
对外贸易

导热系数极低。国外阿斯彭气凝胶常温下可以做到0.013。国内气凝胶常温下的导热系数最好可以做到0.017。气凝胶是目前已知的固体材料中，在两百度内保温效果最好的产品。普通隔热材料，例如高温玻璃棉，常温下的导热系数在0.045左右。这意味着1cm厚的气凝胶的保温效果相当于3cm厚的玻璃棉。

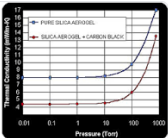
使用温度：-200C~650C. 能够满足绝大多数保温温度的需求。

AEROGEL THERMAL CONDUCTIVITY RESULTS

The aerogel blanket displayed a thermal conductivity reading of 0.024 W/mK at 20°C.

According to the manufacturer, the known thermal conductivity of this aerogel blanket is 0.023 W/mK at 100°C. As can be seen, by these results, a close correlation exists between the stated manufactured thermal conductivity and the

A typical silica aerogel has a total thermal conductivity of ~0.017 W/mK (~R10/inch). A major portion of this energy transport results from the gases contained within the aerogel.



Thermal Properties of Silica Aerogels | The Norris Research ...
<https://pamelanorris.wordpress.com/resources/thermal-properties>

Aerogels Products

Supplier	Product	Thermal conductivity [W / m K]	Density [g / cc]	Min. Temp. [°C]	Max. Temp. [°C]	Material
Aspen Aerogels	Cryogel	0.0135	0.13	-200	40	Foam-like
	Spaceloft	0.0125 – 0.0135	0.17	-200	200	Hydrophobic
	Pyrogel	0.0145 – 0.0155	0.12 – 0.17	-200	650	Tensile strenght 88kPa
Separex	-	0.005 – 0.02	0.1	-	-	PU (monolith)
		0.0015 – 0.0085	0.209			
		0.0175 – 0.012	0.26			
MarkeTech International Inc	-	0.004 (vac.)	0.1	-	-	Silica (monolith)
		0.016 (air)	(0.01 – 0.3)			
Airglass	Airglass	0.021 (20°C)	0.05 – 0.2	-	-	Silica (monolith)
		0.2 (300°C)				
Cabot Corporation	translucent	0.018	0.090 – 0.100	-	-	Silica (beads / particles)
	IR opac.		0.090 – 0.100			
	beds		0.040 – 0.100			
	Fine particle Aerogel beds		0.090 – 0.100			
NanoPore	HP-150	0.0034 – 0.020	0.015 – 0.016	-273	150	VIP
	HT-170	0.0038 – 0.021	0.0165 – 0.017	-273	600	

气凝胶总结:

密度(density):

$$\sim 130 \text{ kg/m}^3$$

比热容(heat capacity):

$$1900 \text{ J/kg} \cdot K \sim 2300 \text{ J/kg} \cdot K$$

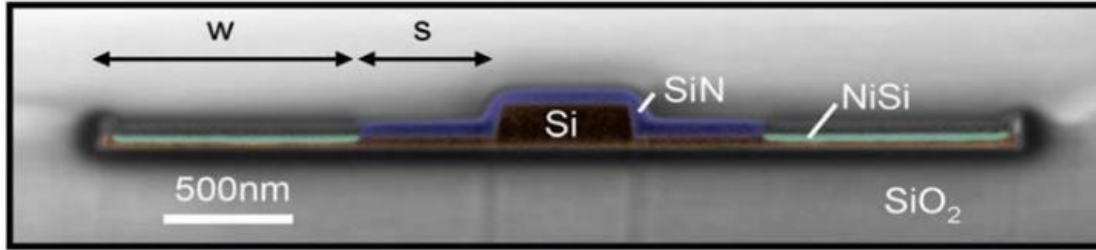
导热系数(thermal conductivity):

$$0.013 \text{ W/m} \cdot K \sim 0.024 \text{ W/m} \cdot K$$

气凝胶的导热系数比空气略低.

论文

1.



3.

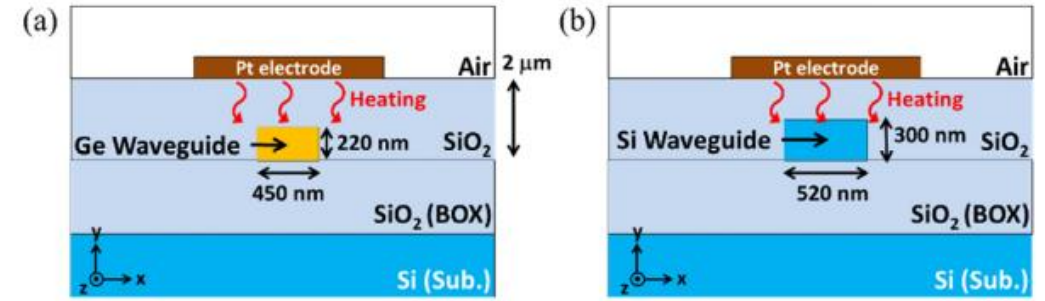
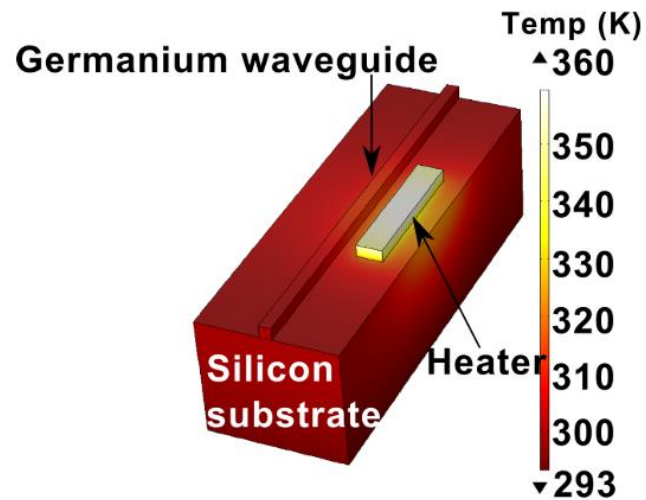


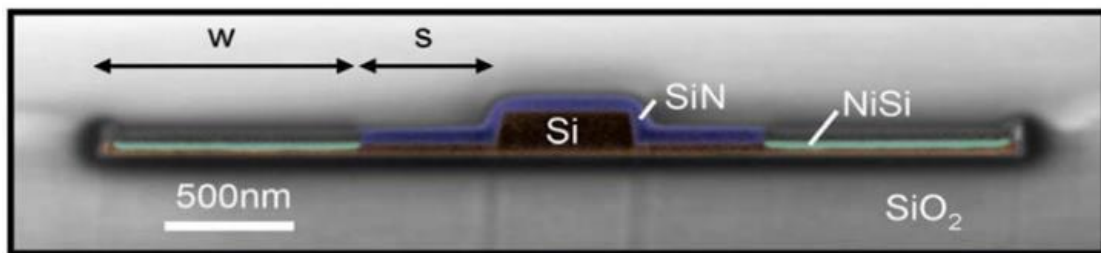
Fig. 1. Cross-sectional schematics of (a) Ge and (b) Si TO phase shifters operating at a wavelength of 1.95 μm.

2.



1. Joris Van Campenhout et al., Integrated NiSi waveguide heaters for CMOS-compatible silicon thermo-optic devices, Optics Letters, 2010.
2. Aditya Malik et al., Ge-on-Si and Ge-on-SOI thermo-optic phase shifters for the mid-infrared, Optics Express, 2014
3. Takumi Fujigaki et al., High-efficiency Ge thermo-optic phase shifter on Ge-on-insulator platform, Optics Express, 2019

论文1



steady-state 2-D thermal simulation, 设定热源, 边界条件, 初始值, 求稳态解. (只有热学仿真)

热源: 面热源(2D图中为两条线)
 $0.1 \text{ mW}/\mu\text{m} \rightarrow 10^8 \text{ W}/\text{m}^2$

变量: $w = 1 \text{ }\mu\text{m}$, $s = 0.5 \text{ }\mu\text{m}$

结果: $\text{dt}(\text{waveguide}) \sim 23\text{K}$

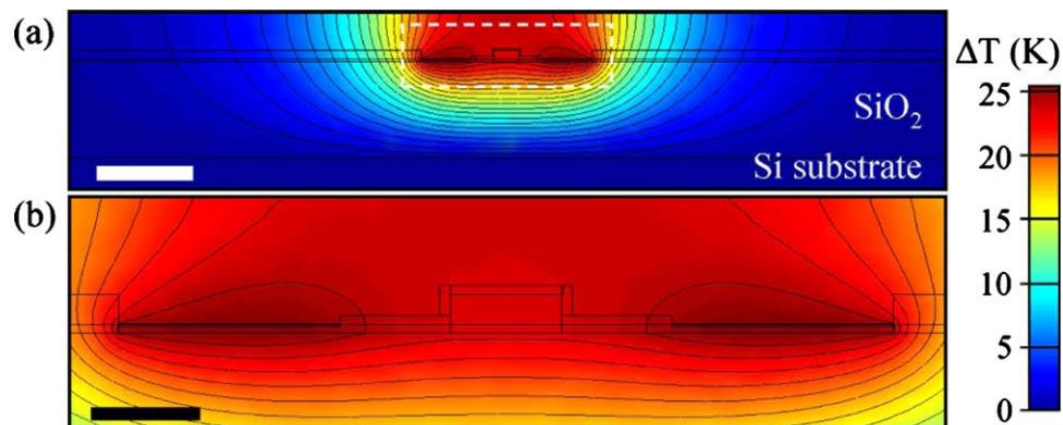


Fig. 4. (Color online) (a) Simulated 2-D distribution of the expected temperature increase (in kelvin) for $0.1 \text{ mW}/\mu\text{m}$ power dissipation. The scale bar is $2 \text{ }\mu\text{m}$ long. (b) Magnification of (a), showing a temperature increase in the waveguide core of 23 K . The scale bar is 500 nm long.

问题

1. 功率的转换

$$0.1mW/\mu m \rightarrow 5 \times 10^7 W/m^2$$

2. 网格密度的确定

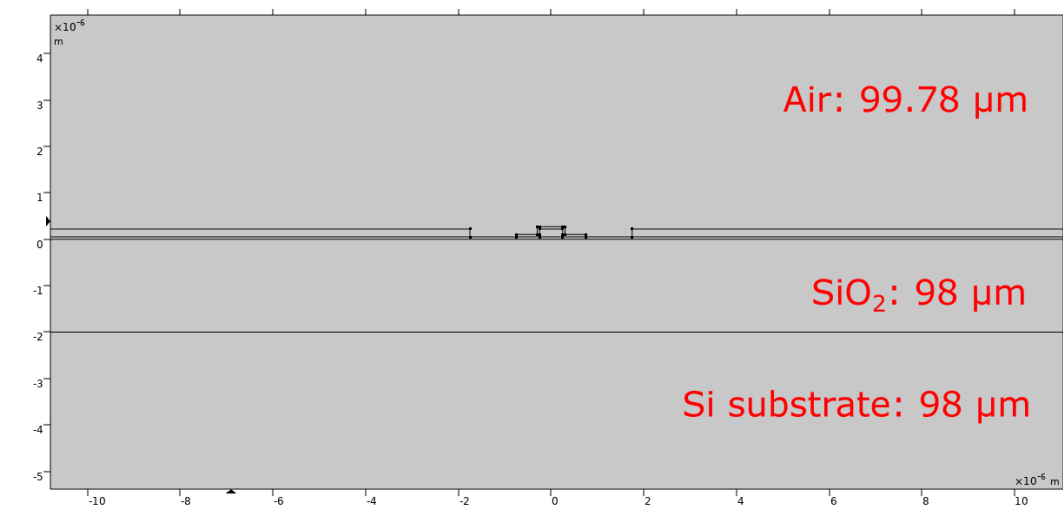
3. 边界条件的确定

4. 结构不确定

- 空气层厚度
- 仿真区域大小
- 尝试去掉两边的Si薄板

网格密度的影响

初始结构



网格大小

▼ Element Size Parameters

☒ Maximum element size:
1.34E-5 m

☒ Minimum element size:
6E-8 m

标签: mesh\initial-right-geo.mph

结果:

所有边界: $T = 293.15 \text{ K}$

温度(波导中心): 309.01 K , $d = 15.86 \text{ K}$

所有边界: $T = 293.15\text{ K}$
温度(波导中心): 309.01 K , $d = 15.86\text{ K}$

所有边界: $T = 293.15\text{ K}$
温度(波导中心): 309.01 K , $d = 15.86\text{ K}$

所有边界: $T = 293.15\text{ K}$
温度(波导中心): 309.01 K , $d = 15.86\text{ K}$

中间区域:

☒ Maximum element size:

1e-6

m

☒ Minimum element size:

60e-9

m

中间区域:

☒ Maximum element size:

100e-9

m

☒ Minimum element size:

20e-9

m

外部区域: (之前 $1\text{ }\mu\text{m}$)

☒ Maximum element size:

500e-9

m

☒ Minimum element size:

4E-9

m

中间区域:

所有边界: $T = 293.15 \text{ K}$

温度(波导中心): 309.02 K , $d = 15.87 \text{ K}$

<input checked="" type="checkbox"/>	Maximum element size:	<input type="text" value="50e-9"/>	m
<input checked="" type="checkbox"/>	Minimum element size:	<input type="text" value="10e-9"/>	m

所有边界: $T = 293.15 \text{ K}$

温度(波导中心): 309.02 K , $d = 15.87 \text{ K}$

标签: mesh\initial-right-geo-mesh-

extr	<input checked="" type="checkbox"/>	Maximum element size:	<input type="text" value="1e-6"/>	m
	<input checked="" type="checkbox"/>	Minimum element size:	<input type="text" value="60e-9"/>	m

<input checked="" type="checkbox"/>	Maximum element size:	<input type="text" value="50e-9"/>	m
<input checked="" type="checkbox"/>	Minimum element size:	<input type="text" value="10e-9"/>	m

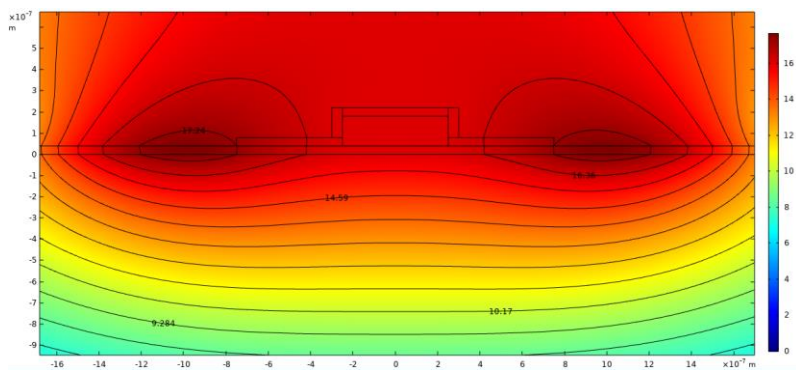
<input checked="" type="checkbox"/>	Maximum element size:	<input type="text" value="250e-9"/>	m
<input checked="" type="checkbox"/>	Minimum element size:	<input type="text" value="4E-9"/>	m

结论:

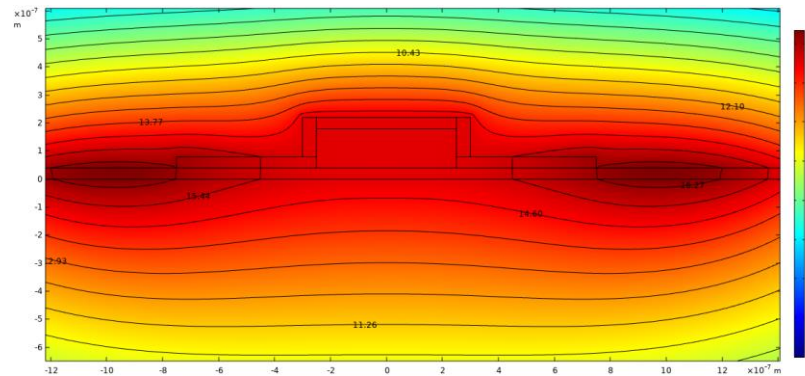
在该区间内加密网格对结果基本没有影响.

网格密度(max-size: $1 \text{e-}6 \text{ m}$, min-size: $60 \text{e-}9 \text{ m}$)足够.

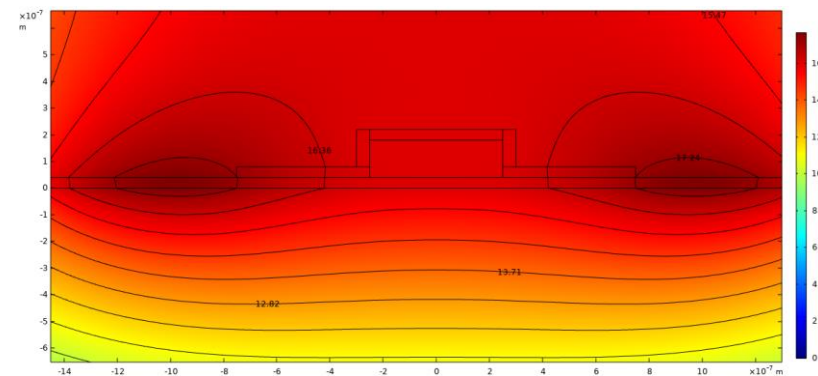
边界条件的确定



左右下边界: $T = 293.15 \text{ K}$
上边界: heat flux 热交换,
 $T = 293.15 \text{ K}, h = 25 \text{ W}/(\text{m}^2 \cdot \text{K})$
温度(波导中心): 309.21 K ,
 $d = 16.06 \text{ K}$



所有边界: $T = 293.15 \text{ K}$
温度(波导中心): 308.23 K ,
 $d = 15.08 \text{ K}$



左右下边界: $T = 293.15 \text{ K}$
上边界: heat flux 热交换,
 $T = 293.15 \text{ K}, h = 5 \text{ W}/(\text{m}^2 \cdot \text{K})$
温度(波导中心): 309.21 K ,
 $d = 16.06 \text{ K}$

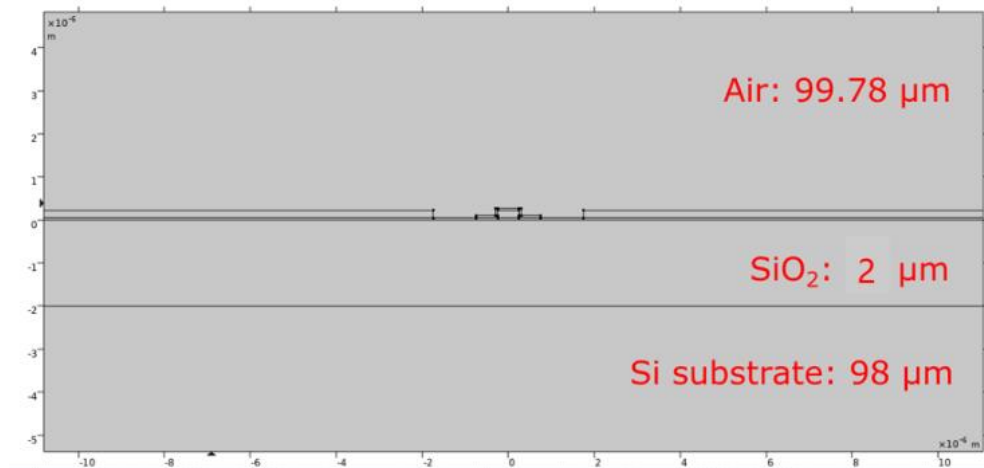
结论:

1. 排除四个边界均为恒温的情况
2. 边界条件应为: 左右下边界恒温, 上边界恒定热流密度. (实际情况的理想化) 同时, 这一情况也与文中的温度分布更相符.

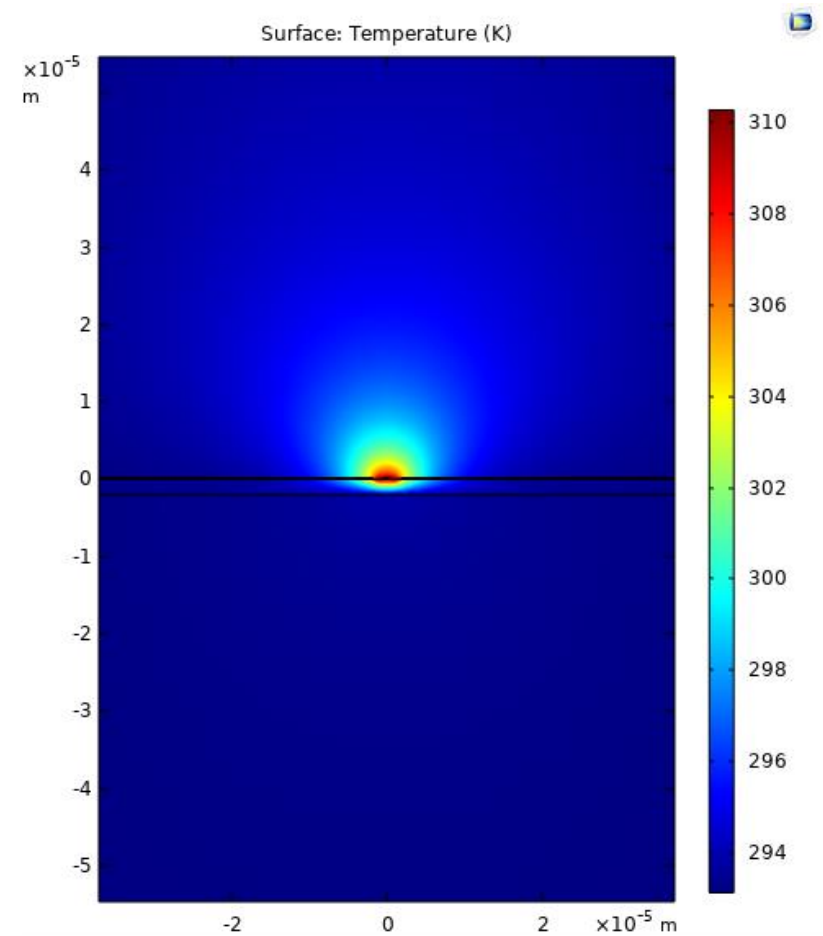
增大仿真区域

改变结构

1. 仿真区域: [μm] 100 x 200 (w, h)

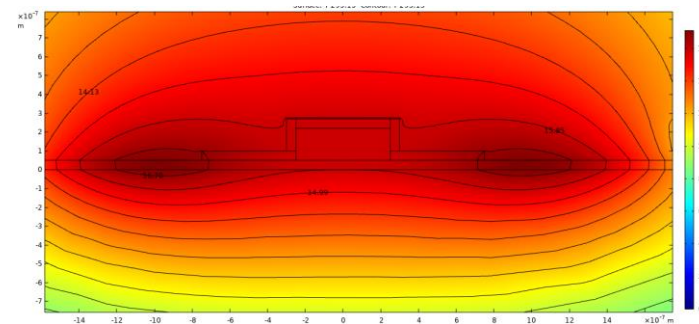


仿真区域大小



整个区域温度分布

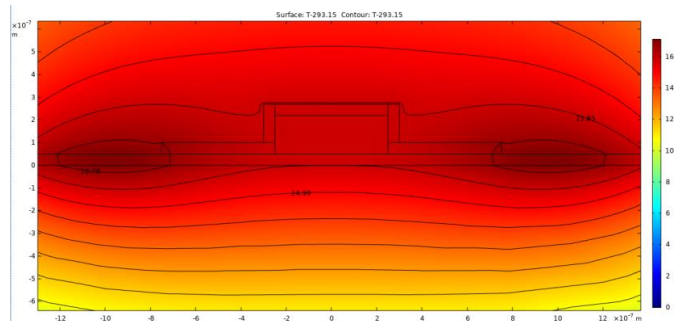
增大仿真区域



左右下边界: $T = 293.15 \text{ K}$

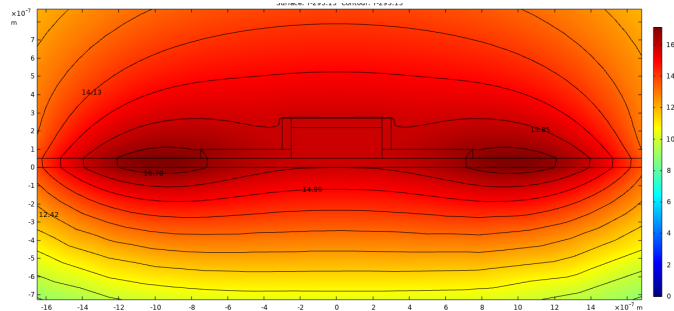
上边界: heat flux 热交换, $T = 293.15 \text{ K}$, $h = 25 \text{ W}/(\text{m}^2 \cdot \text{K})$

温度(波导中心): 309.01 K , $d = 15.86 \text{ K}$



所有边界: $T = 293.15 \text{ K}$

温度(波导中心): 309.01 K , $d = 15.86 \text{ K}$



左右下边界: $T = 293.15 \text{ K}$

上边界: heat flux 热交换, $T = 293.15 \text{ K}$, $h = 5 \text{ W}/(\text{m}^2 \cdot \text{K})$

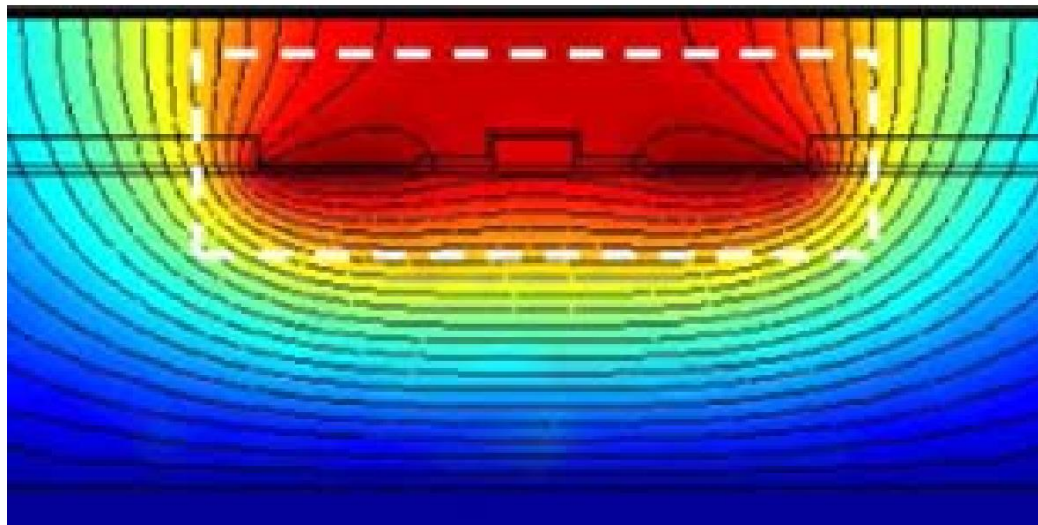
温度(波导中心): 309.01 K , $d = 15.86 \text{ K}$

结论:

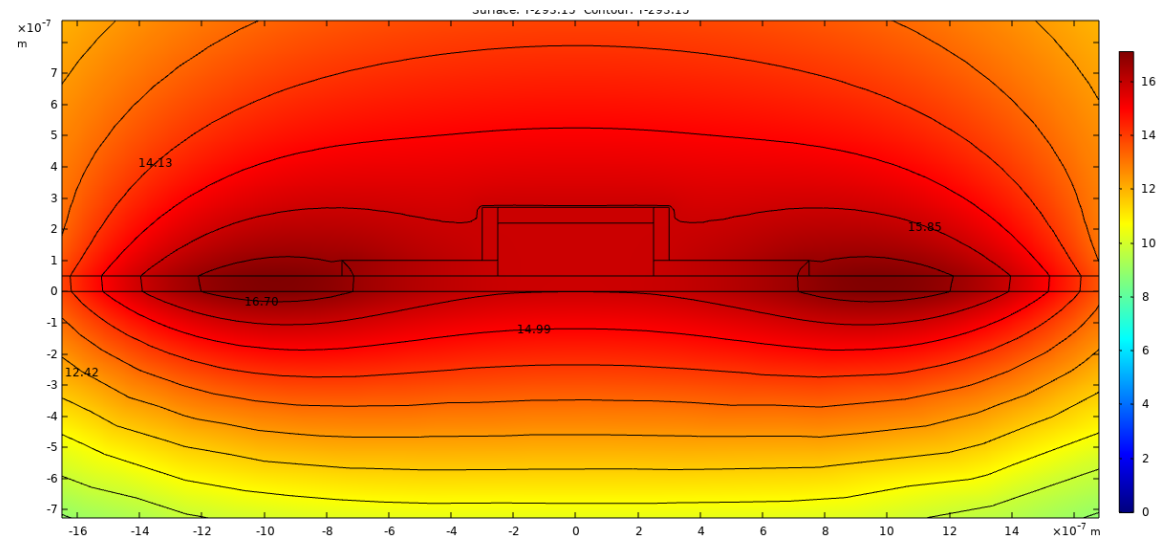
1. 增大仿真区域基本不改变中心区域温度分布
2. 影响成二次方衰减 (中心区域周围的材料对于温度分布的影响更为关键)

去掉两边的Si薄板

原因: 仿真论文中的等温线十分平滑



论文中的



我的

去掉两边的Si薄板

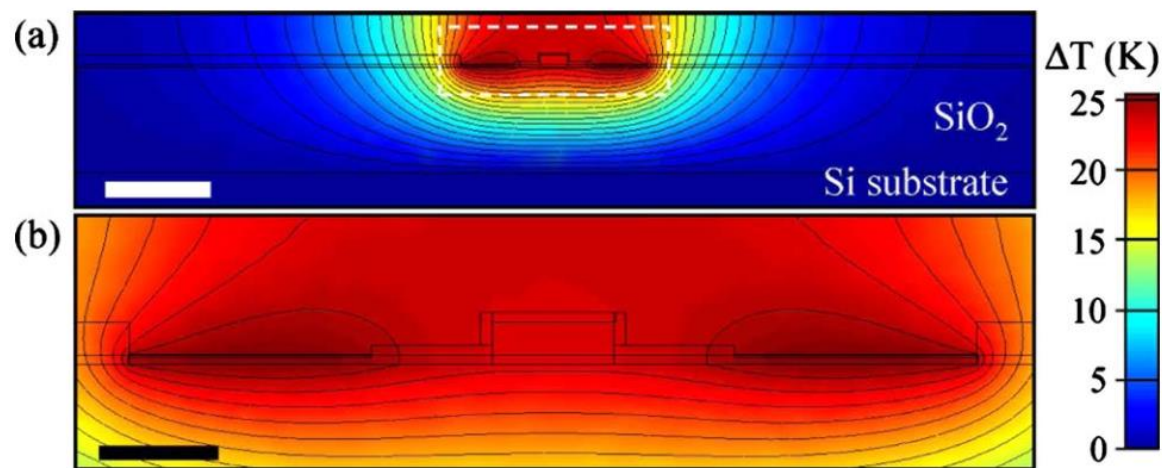
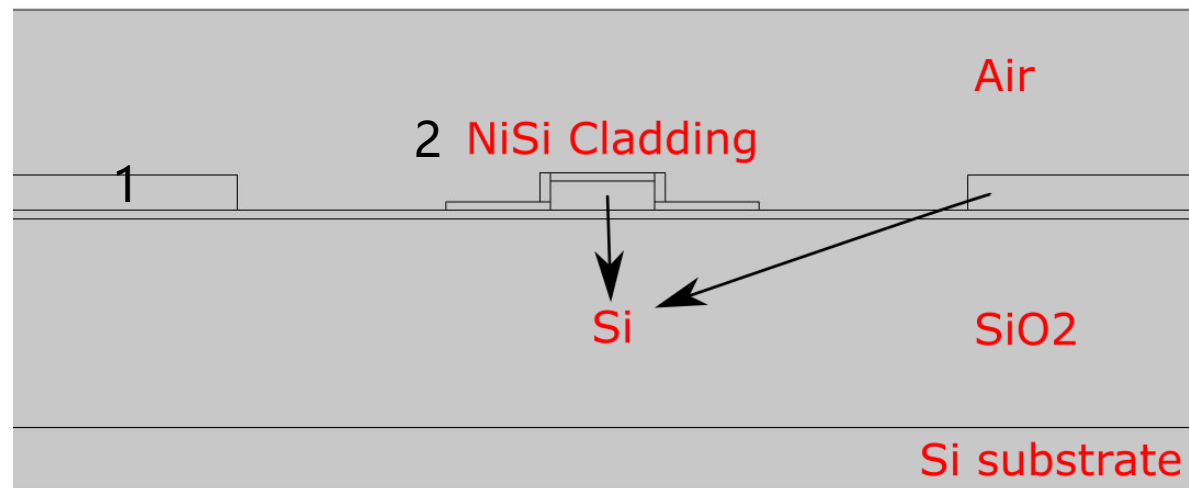


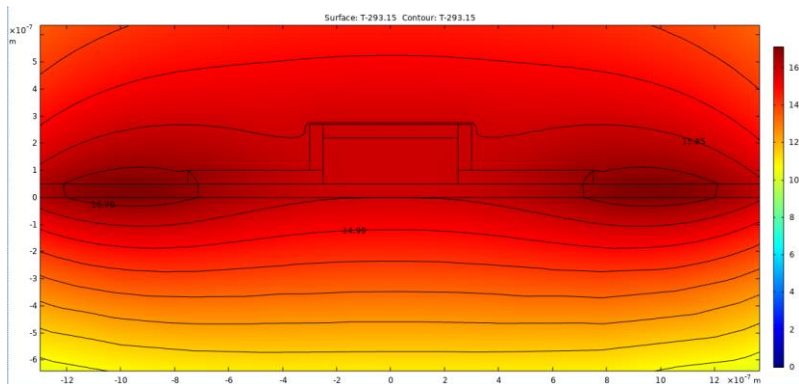
Fig. 4. (Color online) (a) Simulated 2-D distribution of the expected temperature increase (in kelvin) for $0.1 \text{ mW}/\mu\text{m}$ power dissipation. The scale bar is $2 \mu\text{m}$ long. (b) Magnification of (a), showing a temperature increase in the waveguide core of 23 K. The scale bar is 500 nm long.



task:

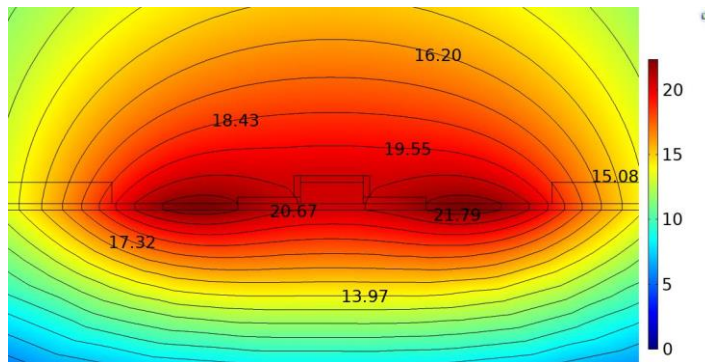
1. 只去掉周围Si平板
2. NiSi也同时去掉

去掉两边的Si薄板



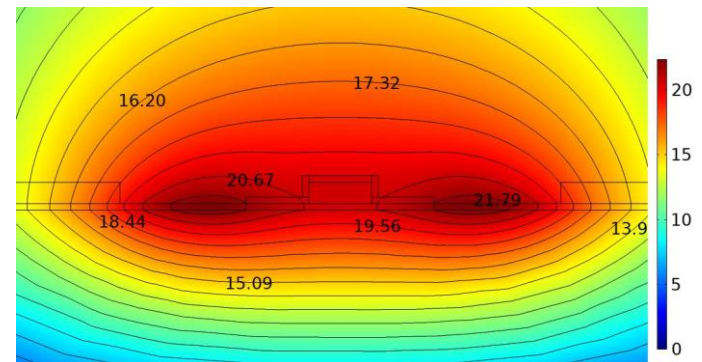
原始

温度(波导中心): 309.01 K,
 $d = 15.86$ K



只去掉周围Si平板

$dT = 20.60$ K

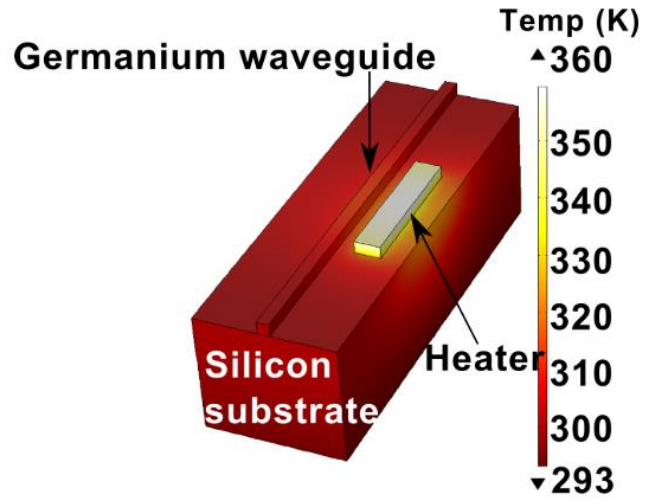


Si₃N₄也同时去掉

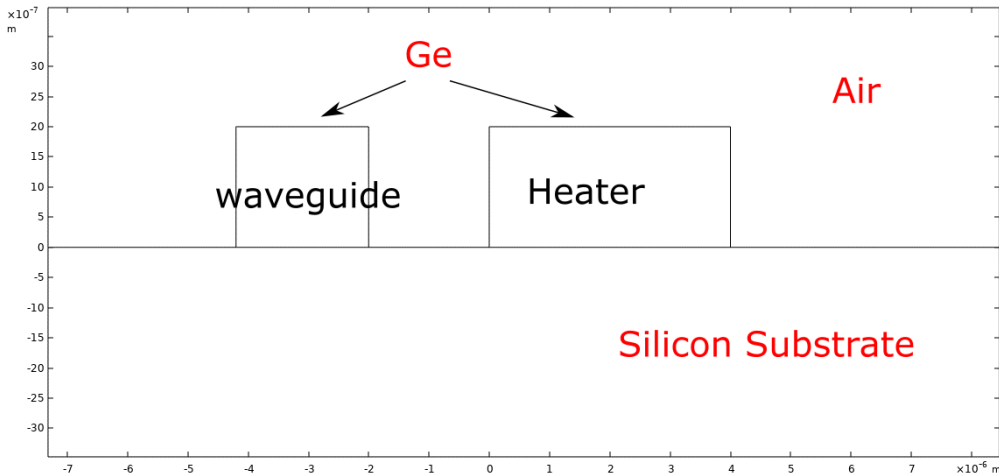
$dT = 20.57$ K

结论：温度变化对于周围结构（的导热系数）很敏感。

论文2



二维以及三维结构



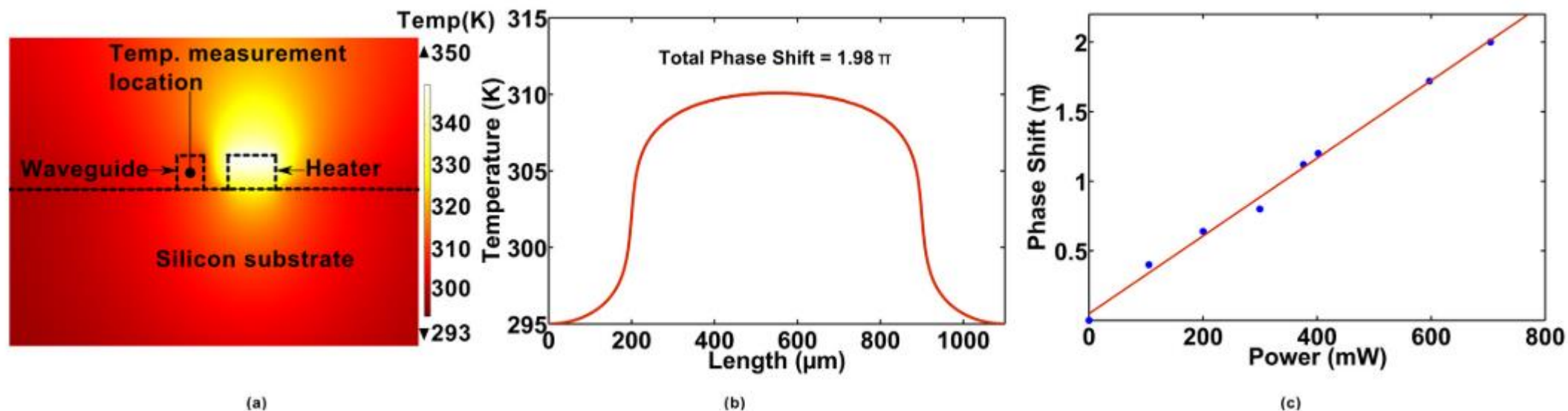
单边加热

波导:[μm] 2.2 x 2 x 1100

heater: :[μm] 4 x 2 x 700

功率: 700 mW

论文中的仿真



1. 三维仿真
2. 波导中心直线上温度分布
3. 由2求得相位变化

问题

1. 复现结果
2. 网格密度的确定
3. 边界条件的确定
4. 结构的确定

Initial

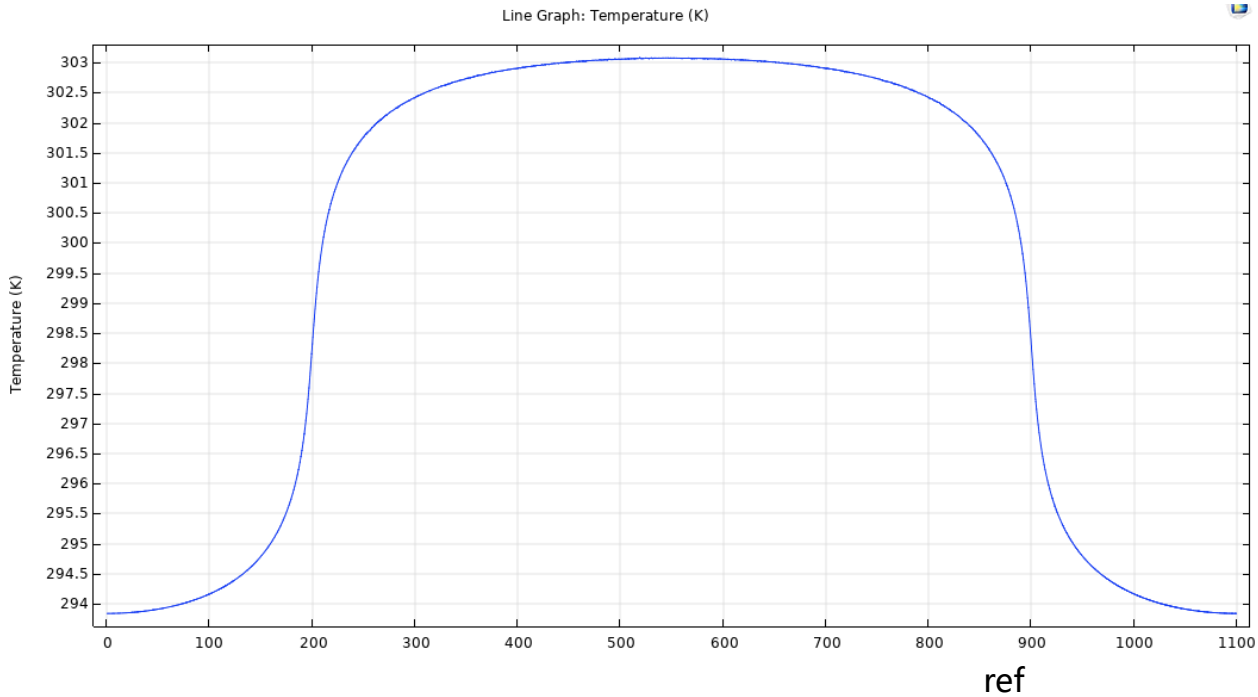
Material Property

	Thermal Conductivity (W/m*K)	Density (kg/m3)	Heat capacity (J/kg*K)
silicon	130	2330	711
air	built-in material		
germanium	58	5323	310

Boundary Condition

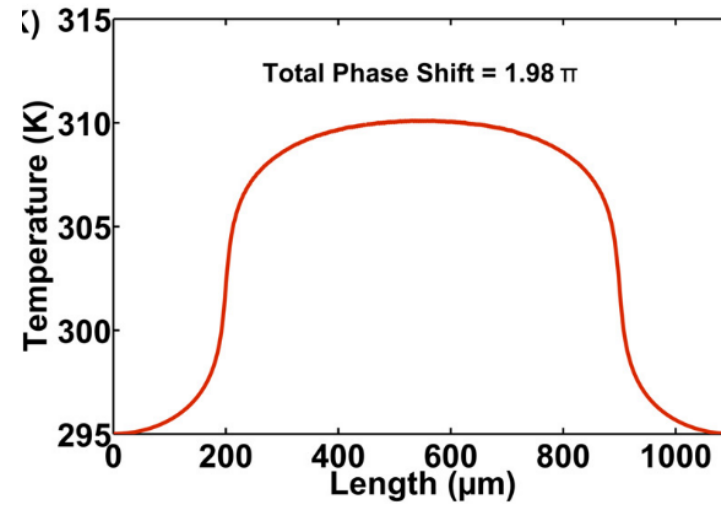
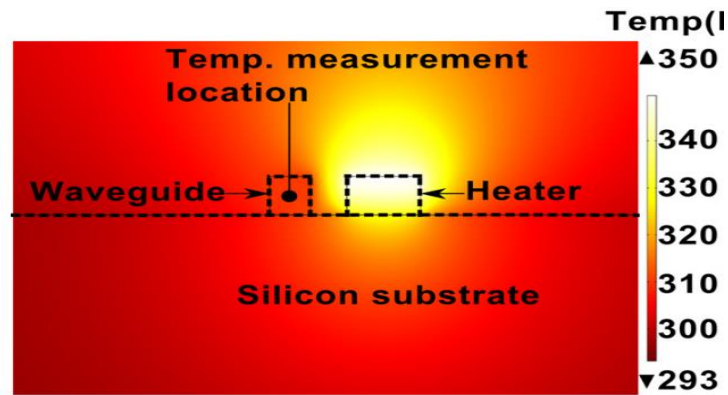
	Boundary Condition
上	Convective heat flux, $h=10\text{ W}/(\text{m}^2\cdot\text{K})$
下	fixed temperature, $T=\text{initial value}$
波导方向	Convective heat flux, $h=10\text{ W}/(\text{m}^2\cdot\text{K})$
其余两个方向	Convective heat flux, $h=10\text{ W}/(\text{m}^2\cdot\text{K})$

Results



最高温度在303K左右

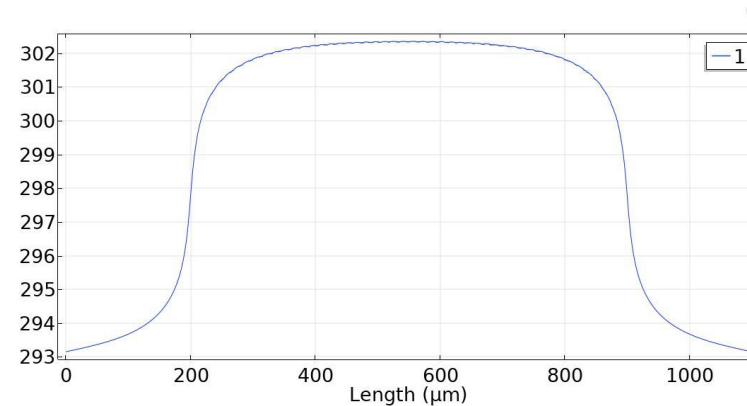
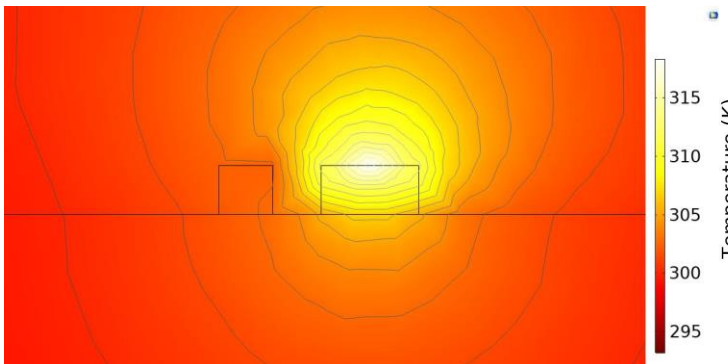
论文中和initial的结果



论文中的

$T_{\text{max}} = \sim 310 \text{ K}$

光程差: 1.98π



initial

$T_{\text{max}} = \sim 302.36 \text{ K}$

光程差: 1.08π

内部, 外部网格大小, 单位: m, 后同

☒ Maximum element size:
2.2E-5
☒ Minimum element size:
2.2E-7

☒ Maximum element size:
2.2E-5
☒ Minimum element size:
2.2E-7

论文中结果不匹配

原因分析:

1. 可能论文中使用的是线状热源

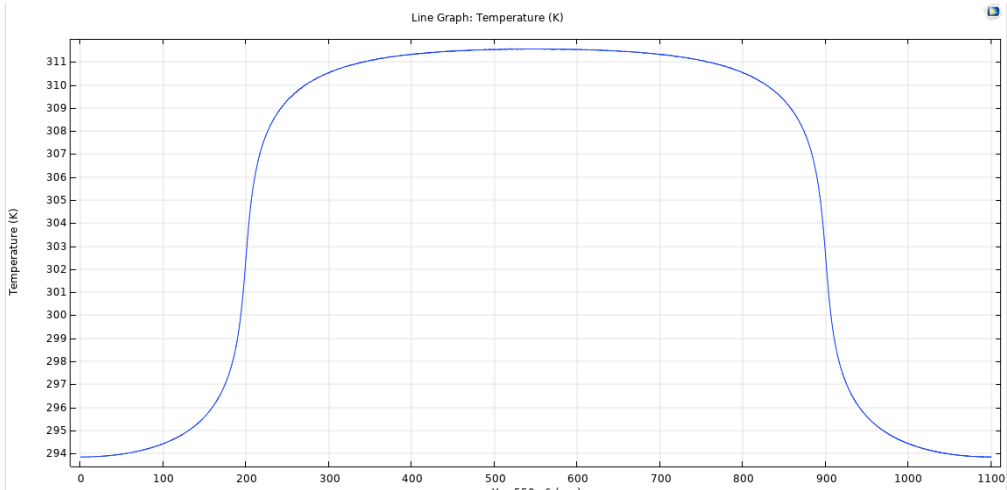
两图等温线形状无法匹配(圆 椭圆)

2. 边界条件错误

3. 有无可能是线段不够密集

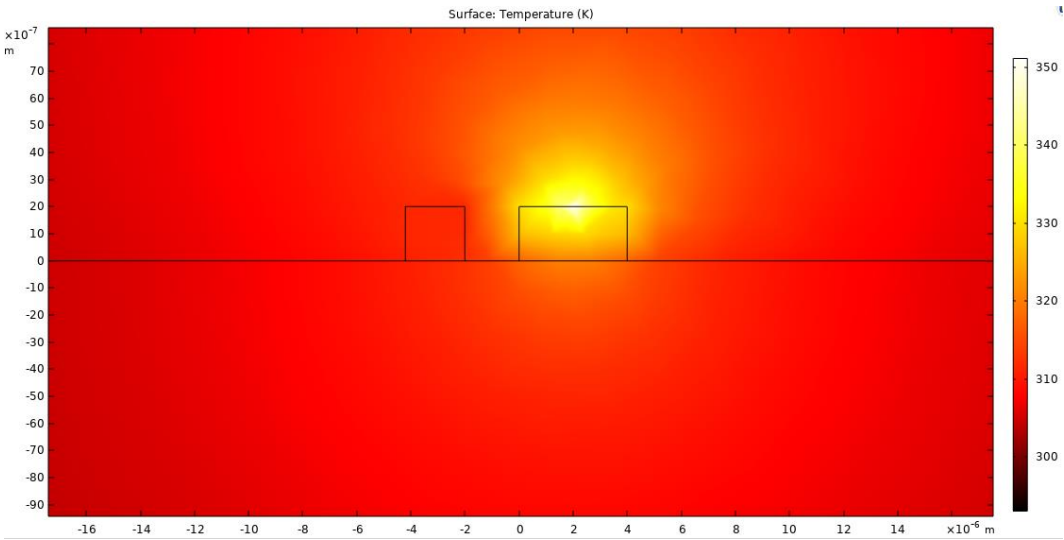
等温线不圆 为可见的折线段

变为线状热源



$T_{\max} = 311.59 \text{ K}$

光程差 = $6.8427 = 2.178 \text{ pi}$

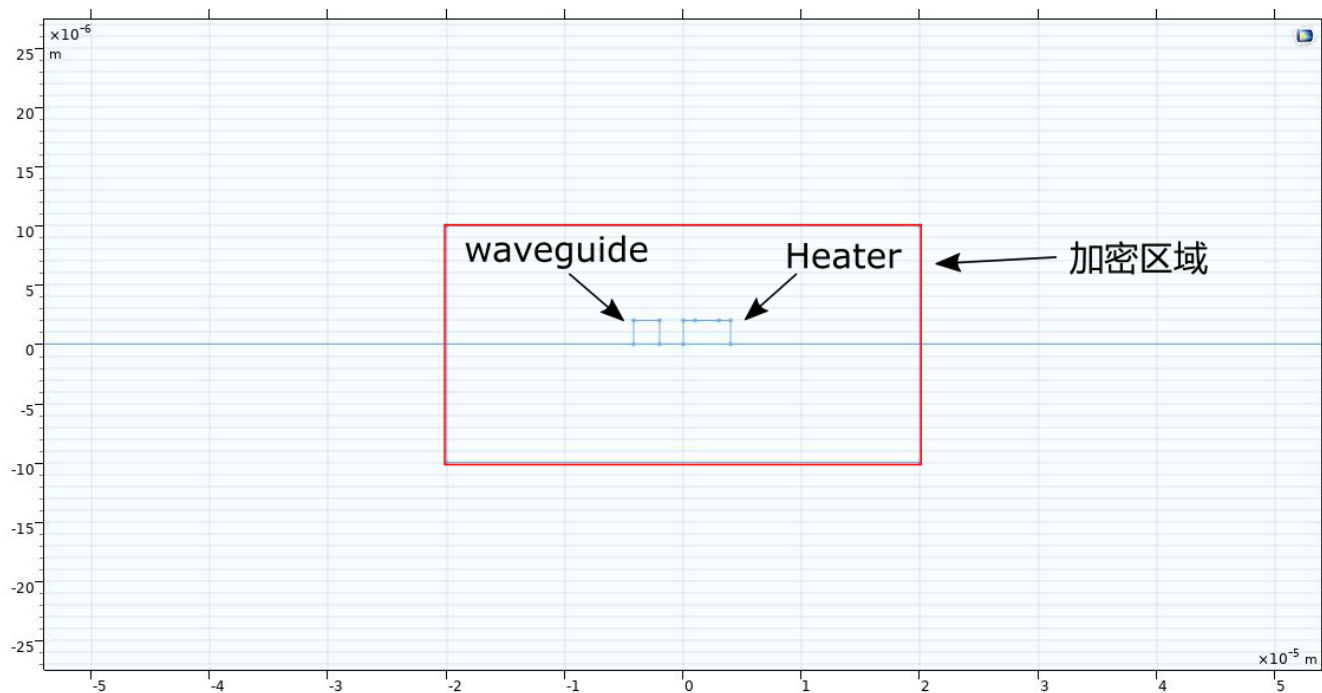


论文中:

光程差 = 1.98 pi

网格密度的确定

Initial



热源: 带状热源

边界条件: 固定温度, $T = 293.15$ K

加密:

区域: $40\text{ }\mu\text{m} \times 20\text{ }\mu\text{m} \times 1100\text{ }\mu\text{m}$

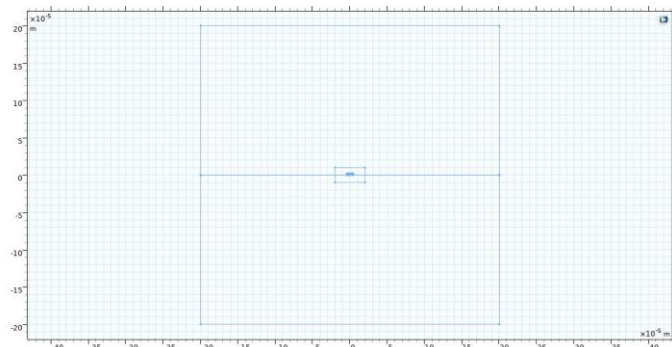
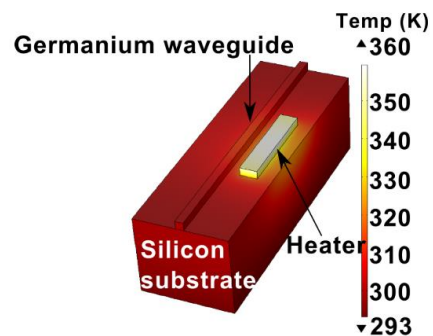
网格大小:

区域内:

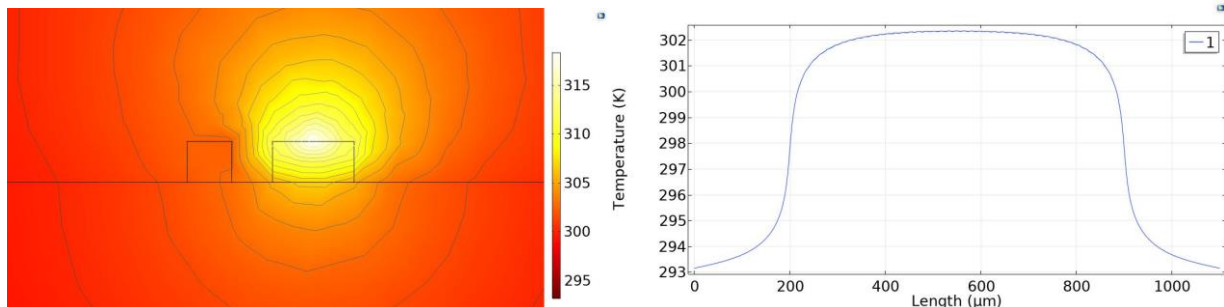
<input checked="" type="checkbox"/>	Maximum element size:	<input type="text" value="2.2E-5"/>	m
<input checked="" type="checkbox"/>	Minimum element size:	<input type="text" value="2.2E-7"/>	m

区域外:

<input checked="" type="checkbox"/>	Maximum element size:	<input type="text" value="1.1E-4"/>	m
<input checked="" type="checkbox"/>	Minimum element size:	<input type="text" value="1.98E-5"/>	m



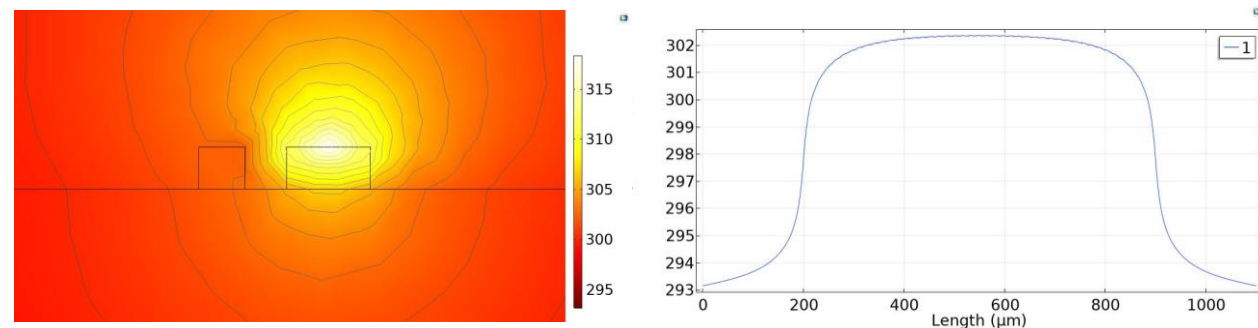
网格密度的确定



$T_{\max} = \sim 302.36 \text{ K}$ 光程差: 1.08π

<input checked="" type="checkbox"/> Maximum element size:	<input checked="" type="checkbox"/> Maximum element size:
10e-6	2.2E-5
<input checked="" type="checkbox"/> Minimum element size:	<input checked="" type="checkbox"/> Minimum element size:
100e-9	2.2E-7

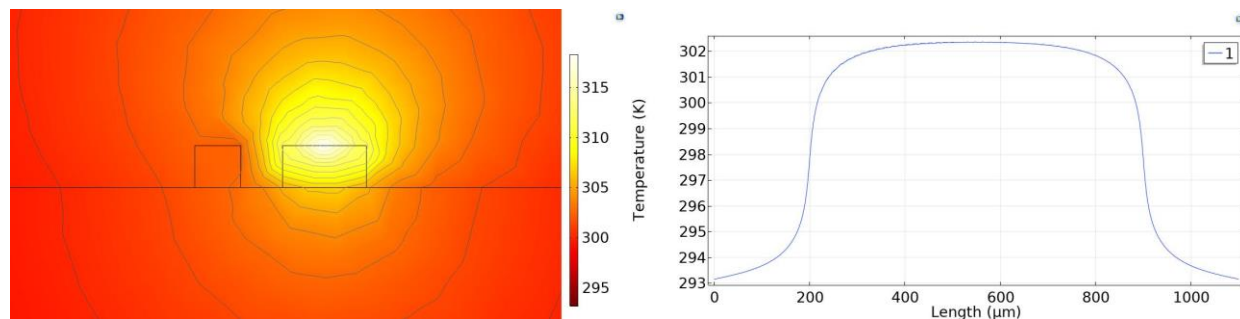
Complete mesh consists of 740090 domain elements, 57029 boundary elements, and 6922 edge elements.
Number of degrees of freedom solved for: 998085 (plus 238240 internal DOFs).
Solution time (Study 1): 123 s. (2 minutes, 3 seconds)



$T_{\max} = \sim 302.36 \text{ K}$ 光程差: 1.08π

<input checked="" type="checkbox"/> Maximum element size:	<input checked="" type="checkbox"/> Maximum element size:
10e-6	10e-6
<input checked="" type="checkbox"/> Minimum element size:	<input checked="" type="checkbox"/> Minimum element size:
100e-9	100e-9

Complete mesh consists of 3428284 domain elements, 103505 boundary elements, and 7492 edge elements.
Number of degrees of freedom solved for: 4616425 (plus 349376 internal DOFs).
Solution time (Study 1): 622 s. (10 minutes, 22 seconds)

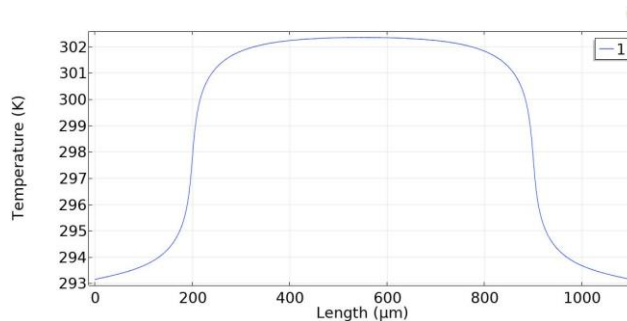
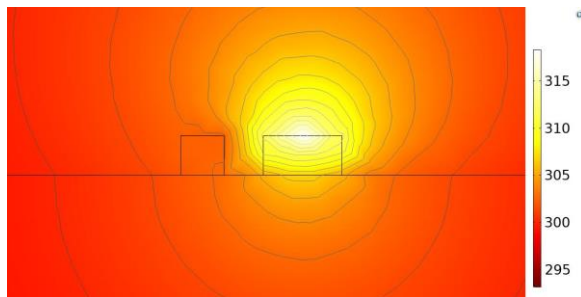


$T_{\max} = \sim 302.37 \text{ K}$ 光程差: 1.08π

<input checked="" type="checkbox"/> Maximum element size:	<input checked="" type="checkbox"/> Maximum element size:
5e-6	10e-6
<input checked="" type="checkbox"/> Minimum element size:	<input checked="" type="checkbox"/> Minimum element size:
50e-9	100e-9

Complete mesh consists of 3515229 domain elements, 110367 boundary elements, and 7955 edge elements.
Number of degrees of freedom solved for: 4731839 (plus 379256 internal DOFs).
Solution time (Study 1): 680 s. (11 minutes, 20 seconds)

$$T_{\max} = \sim 302.36 \text{ K} \quad \text{光程差: } 1.08\pi$$



<input checked="" type="checkbox"/> Maximum element size:	<input checked="" type="checkbox"/> Maximum element size:
2e-6	10e-6
<input checked="" type="checkbox"/> Minimum element size:	<input checked="" type="checkbox"/> Minimum element size:
20e-9	100e-9

Complete mesh consists of 5825842 domain elements, 200806 boundary elements, and 10769 edge elements.
Number of degrees of freedom solved for: 7812245 (plus 752570 internal DOFs).
Solution time (Study 1): 1256 s. (20 minutes, 56 seconds)

算到这里, mesh的时间已经非常长.(相比其他人)

猜想原因

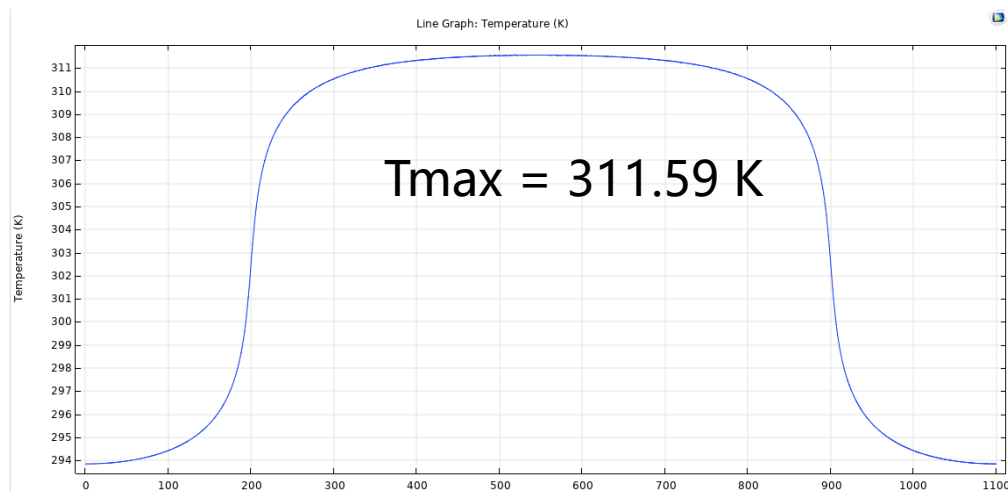
可能是网格疏密没有设置好

模型较大 (1100 μm 400 μm 400 μm)

加密区域z方向较长 (1100 μm / 2 μm)

但已经足够证明: 网格不是仿真结果不准确的原因...

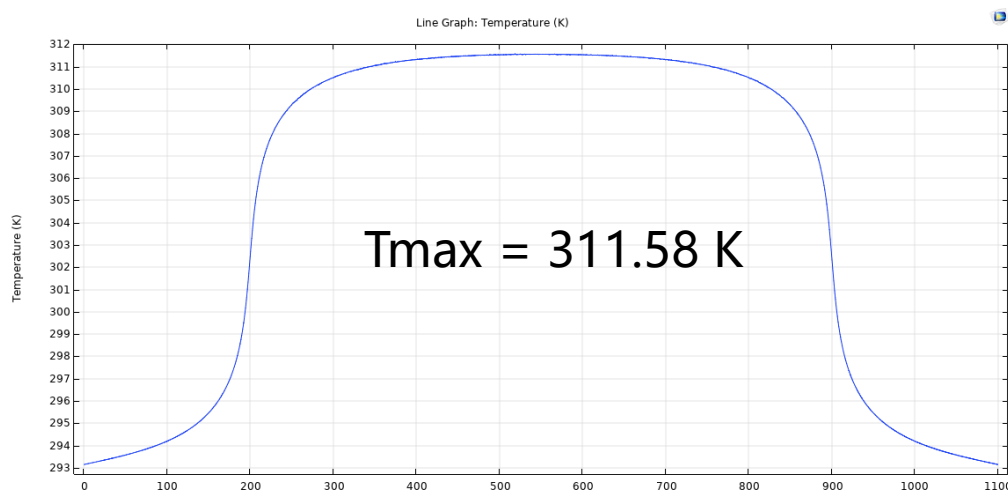
边界条件的确定



上下左右边界: $T = 293.15 \text{ K}$

波导方向边界: heat flux, $T = 293.15 \text{ K}$,
 $h = 10 \text{ W}/(\text{m}^2 \cdot \text{K})$

光程差 = 2.17 pi

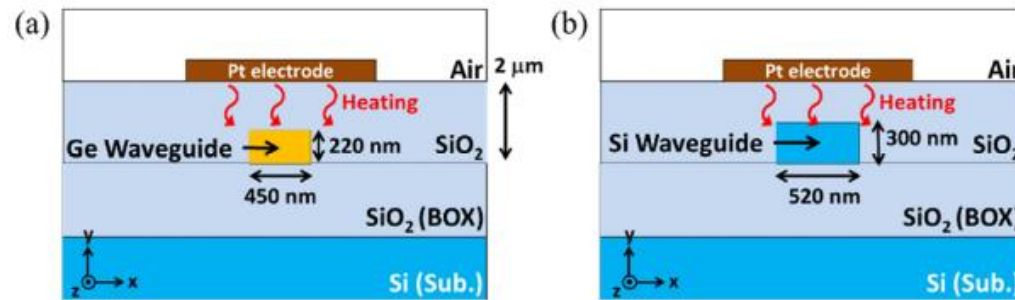


所有边界: $T = 293.15 \text{ K}$

光程差 = 2.15 pi

论文3

Structure



area:

Fig. 1. Cross-sectional schematics of (a) Ge and (b) Si TO phase shifters operating at a wavelength of 1.95 μm.

Simulation

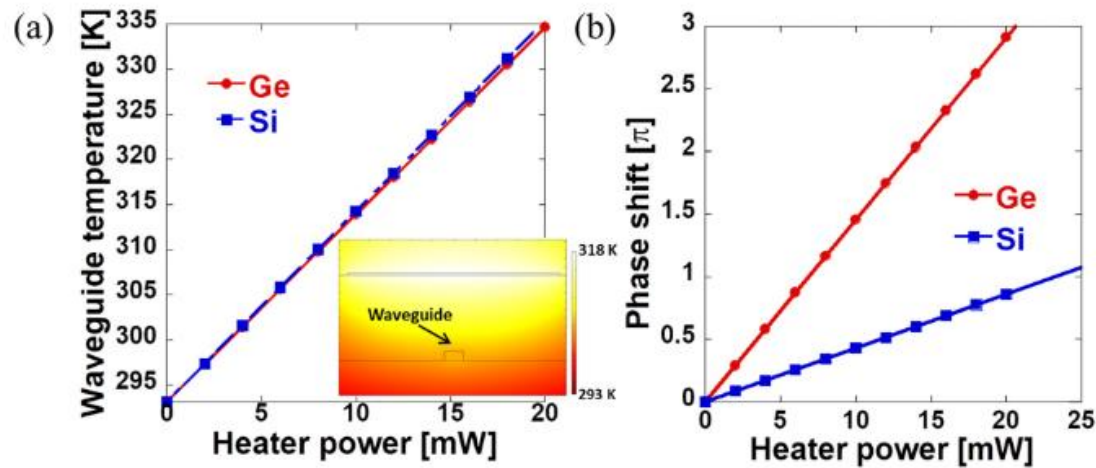
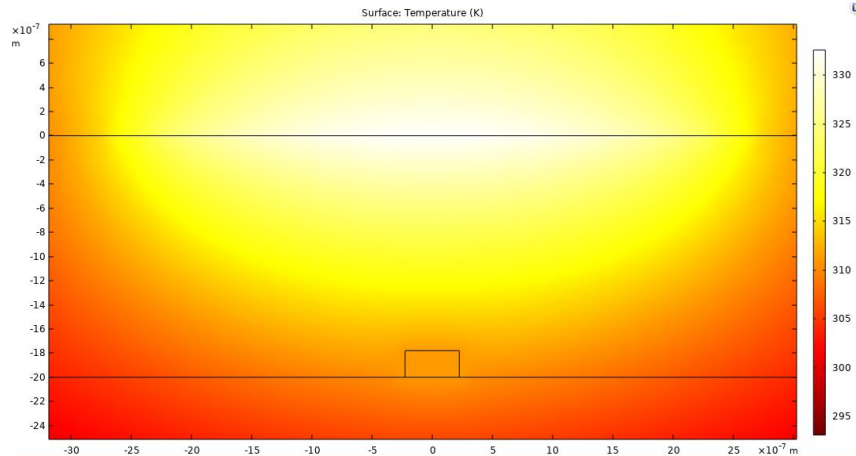


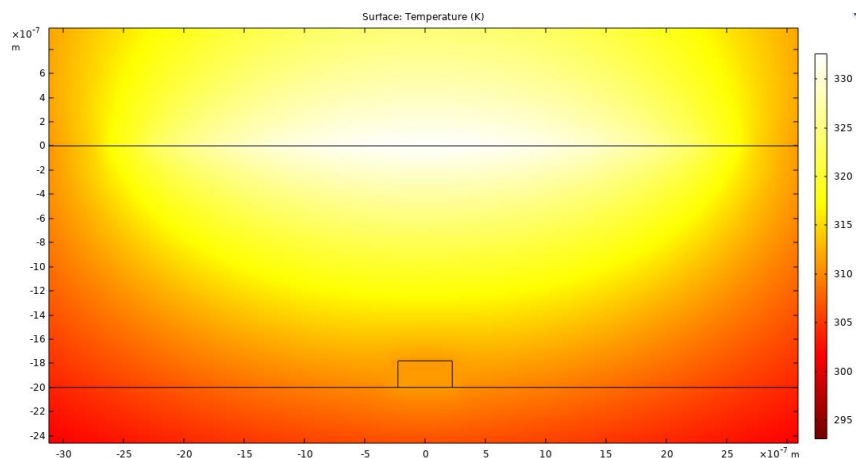
Fig. 2. Simulation results of (a) waveguide temperature and (b) phase shift in Ge and Si TO phase shifters as a function of heater power.



波导中心处温度: [K]
文献中: ~ 314

311.11

initial



311.11

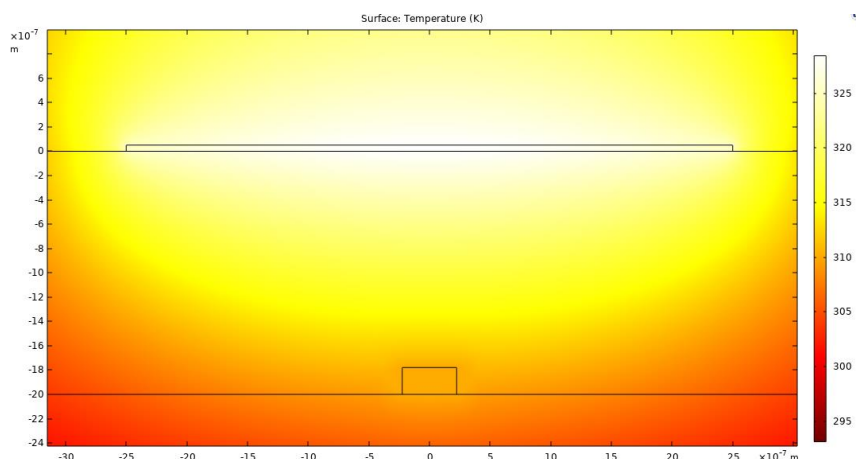
initial-air-fluid

将air设置为流体

结果: 结果完全相同(exactly the same)

结论: 使用流体应设置压强 流速等

不适用与本情况



310.14

initial-pt-added

添加了薄pt层

结果: 轻微变化 (slightly different)

Observation:

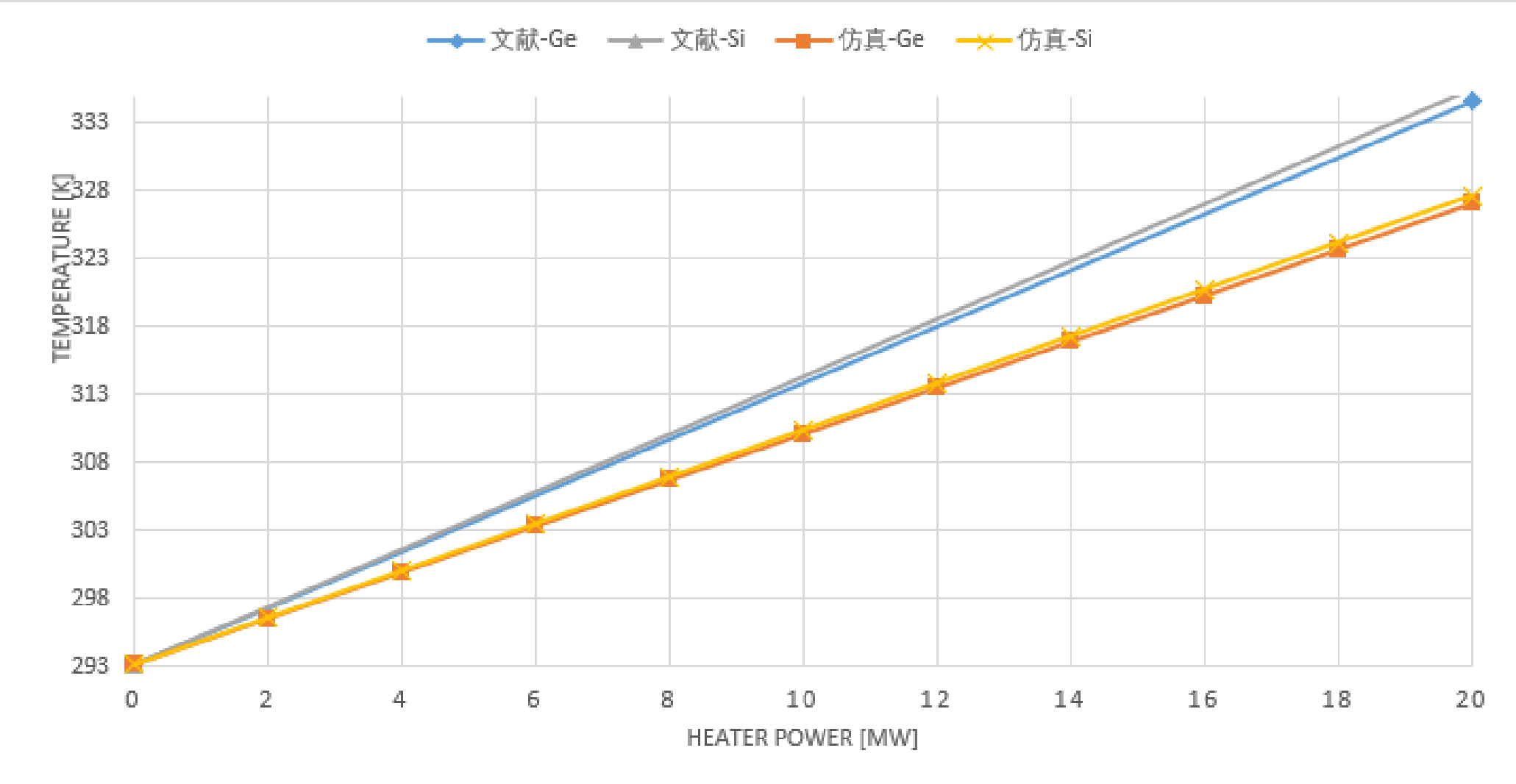
1. steady-state 与电学联系

1. 形成平衡需要热源(source)和热井(sink), 热井可以是边界条件确定的 – 可以类比为高电势和低电势
2. 热的传导: 热源和各个热井之间的材料形成热阻, 类比电阻
3. 稳态解温度分布由热阻分布决定 – 电势分布由电阻决定

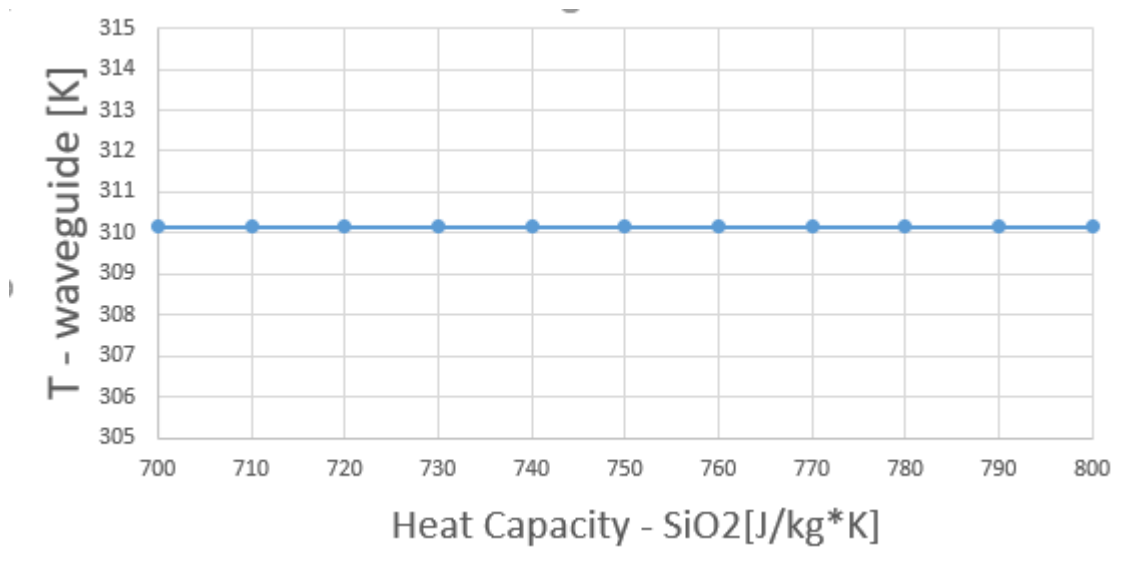
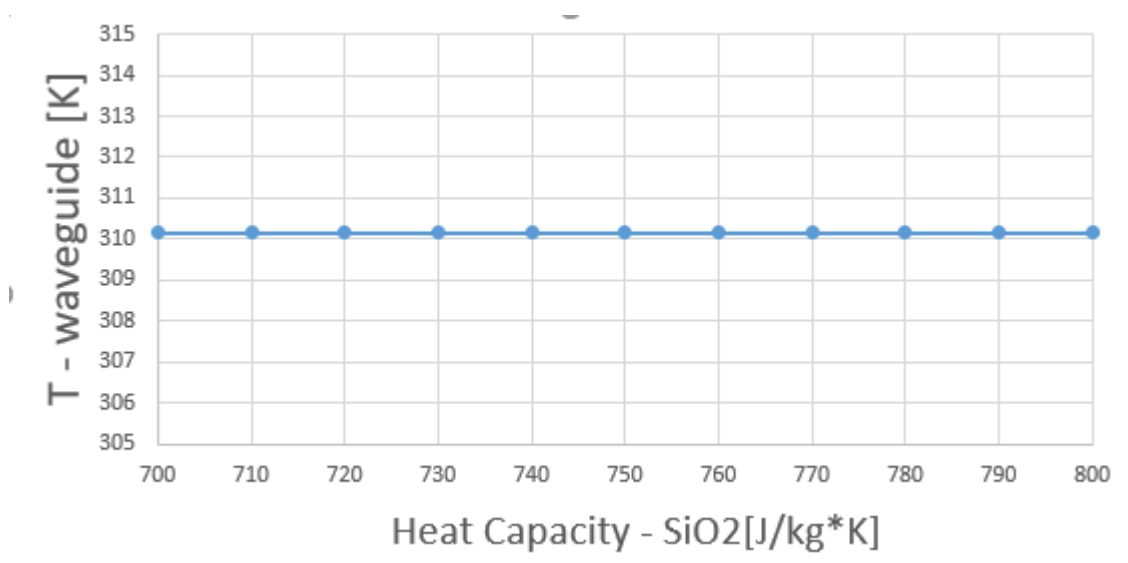
2. 稳态解的分布只与物体的导热系数(thermal conductivity)有关, 而与物体的比热容(specific heat)和密度(density)无关.

-- 解释上页中添加Pt层后温度变化

仿真结果

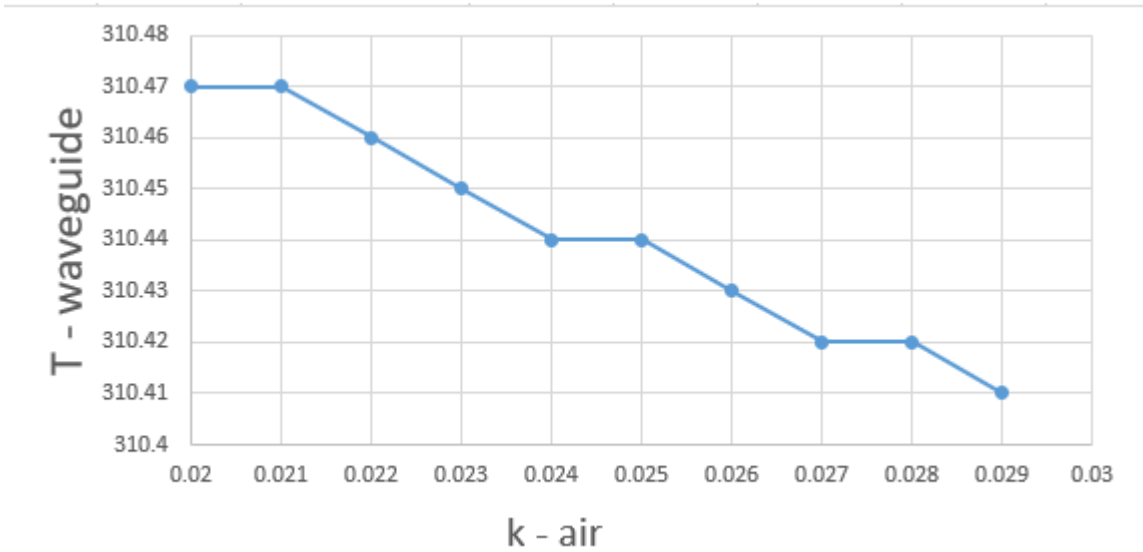


验证: 材料的heat capacity, density不影响steady-state仿真结果



改变空气导热系数的影响

猜想: K 上升, 空气侧热阻减小, 热源产生的热更多的从空气侧流失, 下侧温度降低.



结论: 与猜想相同, 但改变幅度 $< 1\text{ K}$

网格密度的确定

数据对比: 波导中心处温度随功率的变化

Heater power [mW]	extremly fine	custom
0	293.15	293.15
2	296.55	296.55
4	299.95	299.95
6	303.35	303.35
8	306.75	306.75
10	310.14	310.15
12	313.54	313.55
14	316.94	316.94
16	320.33	320.34
18	323.73	323.73
20	327.12	327.13

结论: “custom” 和 “extremely fine” 网格已经足够密

仿真方向

1. 新结构
2. 材料的应用
3. 性能优化 – 占地面积小
4. ?

